

# miR - 126 和 CA125 在乳腺癌中的含量及其临床意义

王卉 陆芸瑶 吴立翔 喻垚 李光新 郭变琴

**摘要 目的** 分析 miR - 126 在乳腺癌患者肿瘤组织,CA125 在乳腺癌患者血浆中的含量及其与临床病理特征间的关系。

**方法** 使用实时荧光定量 PCR 法检测 miR - 126 在 26 例乳腺癌肿瘤组织及 36 例癌旁组织中的含量,使用化学发光免疫法检测 26 例乳腺癌患者血浆及 39 例健康对照血浆中 CA125 的含量,并与临床病理特征进行相关性分析。**结果** miR - 126 在乳腺癌患者肿瘤组织及癌旁组织中的含量比较差异无统计学意义 ( $P > 0.05$ );与健康对照比较,CA125 在乳腺癌患者血浆中的含量显著升高 ( $P < 0.05$ );CA125 的含量与年龄、肿瘤直径和临床分期无关 ( $P > 0.05$ ),但与乳腺癌淋巴结转移情况相关 ( $P < 0.05$ ),并且 CA125 在不同区域淋巴结临床分类中的含量比较差异有统计学意义 ( $P < 0.05$ )。**结论** 血浆中 CA125 的含量与乳腺癌淋巴结转移相关,CA125 可能作为预测乳腺癌淋巴转移情况的新标志物。

**关键词** 乳腺癌 MiR - 126 CA125

**中图分类号** R737.9

**文献标识码** A

**DOI** 10.11969/j.issn.1673-548X.2020.01.031

**Clinical Significance of MiR - 126 and CA125 Expression in Breast Cancer.** Wang Hui, Lu Yunyao, Wu Lixiang, et al. Chongqing Key

Laboratory of Translational Research for Cancer Metastasis and Individualized Treatment, Chongqing University Cancer Hospital & Chongqing Cancer Institute & Chongqing Cancer Hospital, Chongqing 400030, China

**Abstract Objective** To explore the level of miR - 126 in the breast cancer tissues and the concentration of CA125 in the plasma of breast cancer patients. And analyze the relevance between the levels of miR - 126, CA125 and clinicopathological features of breast cancer patients. **Methods** Real - time fluorescence quantitative PCR was applied to measure the level of miR - 126 in 26 tumor tissues and 36 adjacent tissues. The concentration of CA125 was detected by Chemiluminescence immunoassay in the plasma of 26 breast cancer patients and 39 controls. **Results** Compared with adjacent tissues, the level of miR - 126 in tumor tissues was not obviously increased ( $P > 0.05$ ). Compared with the controls, the concentration of CA125 was obviously increased in the plasma of breast cancer patients ( $P < 0.05$ ). The level of CA125 was obviously related to lymph node metastasis ( $P < 0.05$ ), but not associated with the age, tumor size and clinical stages ( $P > 0.05$ ). Furthermore, our results showed that the level of CA125 in the plasma exhibited statistical differences among various lymph node metastasis subtypes ( $P < 0.05$ ). **Conclusion** The level of CA125 is correlated with the lymph node metastasis, suggesting that it can be a marker for predicting lymph node metastasis of breast cancer patients.

**Key words** Breast cancer; MiR - 126; CA125

microRNA (miRNA) 具有组织特异性、稳定性等优点,越来越多的 miRNA 被用来作为癌症诊断的标志物<sup>[1]</sup>。研究发现 miR - 126 在胃肠道肿瘤、甲状腺肿瘤、肺癌等多种肿瘤细胞中表达异常<sup>[2]</sup>。CA125 是用于卵巢癌筛查的肿瘤标志物,许多研究显示,CA125 在其他癌症及免疫性疾病中也有重要作用<sup>[3]</sup>。

miR - 126 和 CA125 在乳腺癌中的研究相对较少,因此本研究检测了乳腺癌患者肿瘤组织中 miR -

126 的含量及血浆中 CA125 的含量,同时分析其与患者临床病理特征间的关系,希望这些新的标志物可以为乳腺癌的诊断和治疗提供依据。

## 资料与方法

**1. 临床资料:** 收集重庆大学附属肿瘤医院 2017 年 1 月 ~ 2018 年 1 月间冻存的石蜡包埋乳腺癌组织标本 26 例,所有患者均经病理科医生确诊,术前均未接受放疗、化疗,且临床病理资料完整,患者平均年龄  $52.08 \pm 7.92$  岁。根据美国癌症联合会(AJCC)和国际抗癌联盟(UICC)有关乳腺癌的 TNM 分期标准:I 期 5 例,II 期 12 例,III 期 7 例,IV 期 2 例;有淋巴结转移者 16 例,无淋巴结转移者 10 例。癌旁组织 36 例,患者平均年龄  $40.89 \pm 12.27$  岁。回顾乳腺癌患者的临床病理资料,获得 26 例患者的血浆 CA125 检测结

基金项目:重庆市卫生和计划生育委员会基金资助项目(2016MSXM089)

作者单位:400030 重庆大学附属肿瘤医院、重庆市肿瘤研究所、重庆市肿瘤医院、肿瘤转移与个体化诊治转化研究重庆市重点实验室

通讯作者:郭变琴,电子信箱:178098941@qq.com

果,随机抽取同期检测的健康对照血浆 CA125 检测结果 39 例,平均年龄  $43.92 \pm 15.31$  岁。本研究经笔者医院医学伦理学委员会批准,且所有患者均签署知情同意书。

2. 试剂与仪器:石蜡包埋组织切片 miRNA 提取试剂盒购自天根生化科技有限公司,miRNA 反转录试剂盒、miR - 126 及内参 U6 的特异性茎环引物购自美国 GeneCopoeia 公司,SYBR<sup>®</sup> Premix Ex Taq 试剂盒购自宝生物工程有限公司,CA125 检测试剂购自德国西门子公司。CFX - Connect 荧光定量 PCR 仪、Nano-Drop 1000 核酸浓度测定仪、Fresco17 高速冷冻离心机购自美国 Thermo 公司,ADVIA Centaur CP 全自动化学发光免疫分析仪购自德国西门子公司。

3. 实验方法:(1)使用石蜡包埋组织切片 miRNA 提取试剂盒提取乳腺癌及瘤旁组织石蜡切片中的 miRNA。经 NanoDrop 1000 核酸浓度测定仪检测获得的 miRNA 的纯度及浓度合格后,用 miRNA 反转录试剂盒进行反转录。反转录产物按照 SYBR<sup>®</sup> Premix Ex Taq 试剂盒提供的方法检测组织中 miR - 126 的含量。上述实验进行 3 次重复。(2)按照西门子 ADVIA Centaur CP 全自动化学发光免疫仪使用说明,检测乳腺癌患者及健康对照血浆中 CA125 的含量。

4. 统计学方法:采用 SPSS 24.0 统计学软件对数据进行统计分析。计量资料采用均数  $\pm$  标准差 ( $\bar{x} \pm s$ ) 表示,miRNA 的相对定量采用  $2^{-\Delta\Delta Ct}$  方法进行计算,两指标相关性采用 Spearman 相关分析,以  $P < 0.05$  为差异有统计学意义。

## 结 果

1. miR - 126 在乳腺癌患者瘤旁组织和肿瘤组织中的含量:实时荧光定量 PCR 检测 26 例乳腺癌患者肿瘤组织及 36 例瘤旁组织中 miR - 126 的含量,结果显示二者间 miR - 126 的含量比较差异无统计学意义 ( $P = 0.139$ ,图 1)。

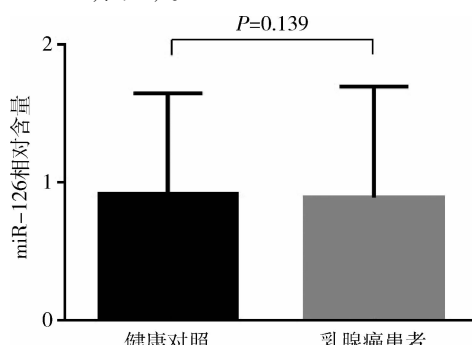


图 1 miR - 126 在乳腺癌患者瘤旁组织和肿瘤组织中的水平

2. CA125 在健康对照及乳腺癌患者血浆中的含量:应用化学发光免疫法检测 26 例乳腺癌患者化疗前及 39 例健康对照血浆中 CA125 的含量,与对照组比较,乳腺癌患者血浆中 CA125 含量明显升高 ( $P = 0.012$ ,图 2)。

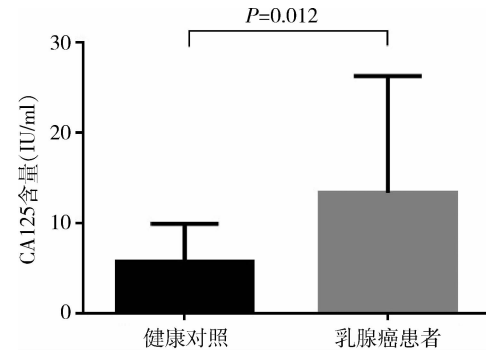


图 2 CA125 在健康对照及乳腺癌患者血浆中的含量

3. 乳腺癌患者化疗前血浆中 CA125 的含量与临床病理特征间的关系:以乳腺癌患者血浆中 CA125 含量的中位数为分界点,分为高含量组和低含量组。乳腺癌患者化疗前血浆中 CA125 的含量与患者区域淋巴结转移情况有关 ( $P = 0.010$ ),与年龄 ( $P = 0.560$ )、肿瘤直径 ( $P = 0.226$ )、临床分期 ( $P = 0.086$ ) 等无关(表 1)。

表 1 乳腺癌患者化疗前血浆中 CA125 的含量与临床病理特征间的关系

病理特征	n	CA125 含量		P
		低含量	高含量	
年龄(岁)				0.560
<50	12	4	8	
≥50	14	8	6	
肿瘤直径(cm)				0.226
<5	22	11	11	
≥5	4	1	3	
TNM 分期				0.086
I 期	5	4	1	
II 期	12	6	6	
III 期	7	1	6	
IV 期	2	1	1	
淋巴结转移				0.010
否	10	7	3	
是	16	5	11	

4. CA125 在乳腺癌患者化疗前血浆中不同区域淋巴结临床分类中的含量:为了进一步分析 CA125 的含量与乳腺癌患者区域淋巴结临床分类的关系 ( $N_0$ :无区域淋巴结转移; $N_1$ :同侧腋窝淋巴结转移,

可移动;  $N_2$ : 同侧腋窝淋巴结转移, 固定或融合;  $N_3$ : 同侧锁骨下/上淋巴结转移), 笔者分析了不同区域淋巴结临床分类中 CA125 的含量, 结果显示  $N_2$  组 CA125 的含量比  $N_0$  组增多, 差异有统计学意义 ( $P = 0.017$ ); 其他组 CA125 含量两两比较, 差异均无统计学意义(图 3)。

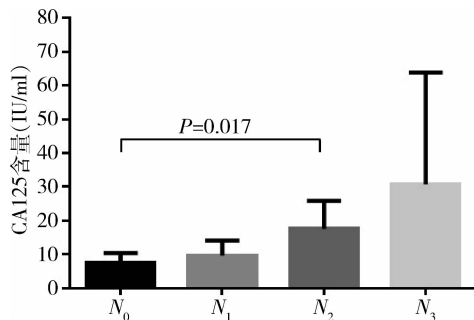


图 3 CA125 在乳腺癌患者化疗前不同区域淋巴结临床分类中的含量

## 讨 论

乳腺癌是世界女性最常见的恶性肿瘤之一, 尽管有许多治疗乳腺癌的方法, 它仍是导致女性癌症死亡的主要原因<sup>[4,5]</sup>。许多乳腺癌患者在初诊时已到中晚期, 这是导致乳腺癌复发和治疗失败的主要原因。因此探究一种简单、经济成本低且能预测乳腺癌发生、发展情况的肿瘤标志物具有重要的意义。

CA125 又称黏蛋白 16 或 MUC16, 是一种黏蛋白家族的膜糖蛋白, 由 MUC16 基因编码<sup>[6,7]</sup>。CA125 最早是在卵巢癌的小鼠模型中发现的, 研究发现人类的胸膜、腹膜间皮细胞、乳腺导管、细支气管上皮、子宫内膜、输卵管及卵巢等均会表达 CA125。正常生理状态下(如女性月经期或孕期)仅有极少量的 CA125 进入血液循环中<sup>[1]</sup>。临幊上 CA125 常被用来筛查和诊断卵巢癌, 也有少量研究探讨了 CA125 作为肿瘤标志物在乳腺癌的诊断、监测与预后中的作用<sup>[8]</sup>。本研究中, 乳腺癌患者血浆中的 CA125 含量明显高于健康对照。这一结果与多项研究相符。Zhang 等<sup>[9]</sup> 分析比较了 65 例乳腺癌患者和 50 例健康对照血清中 CA125 的含量, 结果显示乳腺癌患者血清中 CA125 含量明显高于健康对照。另有报道, 151 例乳腺癌患者的血清 CA125 水平显著高于 180 例健康对照<sup>[8]</sup>。笔者的另一个发现是 CA125 的含量与患者区域淋巴结临床分类相关, 这与 Zhang 等<sup>[9]</sup> 的研究结果相一致。而且 Fang 等<sup>[8]</sup> 研究也发现高表达

CA125 的乳腺癌患者中有 54.3% 存在淋巴结转移。伴随淋巴结转移的乳腺癌患者 CA125 升高的原因可能是肿瘤细胞转移至淋巴结的过程中浸润至胸膜、腹膜间皮细胞、乳腺导管等, 机体应激性分泌了大量的 CA125<sup>[10]</sup>。

miR - 126 在胃肠道肿瘤、生殖系统肿瘤及肺癌等中, 可通过对 PI<sub>3</sub>K、KRAS、EGFL7、CRK 等基因的调节, 参与癌细胞的增殖, 迁移和侵袭<sup>[2]</sup>。乳腺癌中, miR - 126 参与癌细胞的增殖与转移<sup>[11,12]</sup>。Wang 等<sup>[13]</sup> 研究表明, 与癌旁组织比较, 乳腺癌组织中 miR - 126 的表达下调。笔者的研究结果发现, 乳腺癌患者肿瘤组织和癌旁组织中 miR - 126 的含量比较差异无统计学意义, 可能是由于本研究的样本量偏少, 并且收集的乳腺癌患者合并了不同的基础疾病, 如高血压、糖尿病等, 不同疾病状态可能对 miR - 126 的表达有一定的影响。

乳腺癌的转移是导致乳腺癌患者死亡最重要的原因之一, 多数患者在转移后 5 ~ 10 年死亡<sup>[14~16]</sup>。转移性乳腺癌的早期发现与治疗一直是研究者努力攻克的难题。CA125 在乳腺癌淋巴结转移的患者中表达普遍升高, 但其预警作用还需开展深入研究。

## 参考文献

- Cortez MA, Calin GA. MicroRNA identification in plasma and serum: a new tool to diagnose and monitor diseases [J]. Exp Opin Biol Ther, 2009, 9(6):703~711
- Ebrahimi F, Gopalan V, Smith RA, et al. miR - 126 in human cancers: clinical roles and current perspectives [J]. Exp Mol Pathol, 2014, 96(1):98~107
- Norum LF, Erikstein B, Nustad K. Elevated CA 125 in breast cancer – a sign of advanced disease [J]. Tumour Biol, 2001, 22(4):223~228
- Liang HF, Zhang XZ, Liu BG, et al. Circular RNA circ - ABCB10 promotes breast cancer proliferation and progression through sponging miR - 1271 [J]. Am J Cancer Res, 2017, 7(7):1566~1576
- Tong CWS, Wu MX, Cho WCS, et al. Recent advances in the treatment of breast cancer [J]. Front Oncol, 2018, 14(8):227
- Bottoni P, Scatena R. The role of CA 125 as tumor marker: biochemical and clinical aspects [J]. Adv Exp Med Biol, 2015, 867:229~244
- Yang WL, Lu Z, Bast RC. Jr1 The role of biomarkers in the management of epithelial ovarian cancer [J]. Expert Review of Molecular Diagnostics, 2017, 17(6):577~591
- Fang C, Cao Y, Liu X, et al. Serum CA125 is a predictive marker for breast cancer outcomes and correlates with molecular subtypes [J]. Oncotarget, 2017, 8(38):63963
- Zhang SJ, Hu Y, Qian HL, et al. Expression and significance of ER, PR, VEGF, CA15 - 3, CA125 and CEA in judging the prognosis of breast cancer [J]. Asian Pac J Cancer Prev Apjcp, 2013, 14(6):3937~3940

(下转第 152 页)

成为一个新的抗癌治疗靶点,可能改善 ccRCC 患者的预后。虽然本研究已经初步证明 MXD3 是一种新的 ccRCC 诊断和预后标志物,但本研究也存在一些局限性。主要的缺点是 TCGA 和 GEO 数据库只提供了 MXD3 在 mRNA 水平上的表达,这或许不能完全代表 MXD3 在蛋白水平上的表达及活化程度。MXD3 参与 ccRCC 发生、发展的可能机制还有待于进一步研究。

### 参考文献

- Siegel RL, Miller KD, Jemal A. Cancer statistics, 2018 [J]. CA Cancer J Clin, 2018, 68 (1):7–30
- Kumar A, Kumari N, Gupta V, et al. Renal cell carcinoma: molecular aspects[J]. Indian J Clin Biochem, 2018, 33 (3):246–254
- Escudier B, Kataja V, Group EGW. Renal cell carcinoma: ESMO clinical recommendations for diagnosis, treatment and follow-up[J]. Ann Oncol, 2009, 20(Suppl 4):81–82
- Shuch B, Amin A, Armstrong AJ, et al. Understanding pathologic variants of renal cell carcinoma: distilling therapeutic opportunities from biologic complexity[J]. Eur Urol, 2015, 67 (1):85–97
- Bouhlel MA, Lambert M, David – Cordonnier MH. Targeting transcription factor binding to DNA by competing with DNA binders as an approach for controlling gene expression[J]. Curr Top Med Chem, 2015, 15 (14):1323–1358
- Hurlin PJ, Queva C, Koskinen PJ, et al. Mad3 and Mad4: novel Max – interacting transcriptional repressors that suppress c – myc dependent transformation and are expressed during neural and epidermal differentiation[J]. EMBO J, 1995, 14 (22):5646–5659
- Grandori C, Cowley SM, James LP, et al. The Myc/Max/Mad network and the transcriptional control of cell behavior[J]. Annu Rev Cell Dev Biol, 2000, 16:653–699
- Okada M, Miller TC, Wen L, et al. A balance of Mad and Myc expression dictates larval cell apoptosis and adult stem cell development

(上接第 147 页)

- Leonard G, Low J, Berman A, et al. CA 125 elevation in breast cancer: a case report and review of the literature[J]. Breast J, 2015, 10 (2):146–149
- Yang R, Dick M, Marme F, et al. Genetic variants within miR – 126 and miR – 335 are not associated with breast cancer risk[J]. Breast Cancer Res Treat, 2011, 127(2):549–554
- Vimalraj S, Miranda PJ, Ramyakrishna B, et al. Regulation of breast cancer and bone metastasis by microRNAs [J]. Disease Markers, 2013, 35(5):369–387
- Wang CZ, Yuan P, Li Y. MiR – 126 regulated breast cancer cell invasion by targeting ADAM9[J]. Int J Clin Exp Pathol, 2015, 8(6):

- during Xenopus intestinal metamorphosis[J]. Cell Death Dis, 2017, 8 (5):e2787
- Barisone GA, Ngo T, Tran M, et al. Role of MXD3 in proliferation of DAOY human medulloblastoma cells[J]. PLoS One, 2012, 7 (7):e38508
- Duong C, Yoshida S, Chen C, et al. Novel targeted therapy for neuroblastoma: silencing the MXD3 gene using siRNA[J]. Pediatr Res, 2017, 82 (3):527–535
- Wozniak MB, Le Calvez – Kelm F, Abedi – Ardekani B, et al. Integrative genome – wide gene expression profiling of clear cell renal cell carcinoma in Czech Republic and in the United States [J]. PLoS One, 2013, 8 (3):e57886
- Foley KP, McArthur GA, Queva C, et al. Targeted disruption of the MYC antagonist MAD1 inhibits cell cycle exit during granulocyte differentiation[J]. EMBO J, 1998, 17 (3):774–785
- Wang E, Sorolla A, Cunningham PT, et al. Tumor penetrating peptides inhibiting MYC as a potent targeted therapeutic strategy for triple – negative breast cancers[J]. Oncogene, 2018, 38(1):140–150
- Gabay M, Li Y, Felsher DW. MYC activation is a hallmark of cancer initiation and maintenance [J]. Cold Spring Harb Perspect Med, 2014, 4 (6): a014241
- Barisone GA, Satake N, Lewis C, et al. Loss of MXD3 induces apoptosis of Reh human precursor B acute lymphoblastic leukemia cells [J]. Blood Cells Mol Dis, 2015, 54 (4):329–335
- Ngo T, Corrales A, Bourne T, et al. Alternative splicing of MXD3 and its regulation of MXD3 levels in glioblastoma[J]. Front Mol Biosci, 2019, 6:5
- Satake N, Duong C, Chen C, et al. Targeted therapy with MXD3 siRNA, anti – CD22 antibody and nanoparticles for precursor B – cell acute lymphoblastic leukaemia[J]. Br J Haematol, 2014, 167 (4):487–499

(收稿日期:2019–05–18)

(修回日期:2019–05–20)

6547–6553

- Yates LR, Knappskog S, Wedge D, et al. Genomic evolution of breast cancer metastasis and relapse[J]. Cancer Cell, 2017, 32(2):169–184
- Esteve FJ, Hubbard – Lucey VM, Tang J, et al. Immunotherapy and targeted therapy combinations in metastatic breast cancer[J]. Lancet Oncol, 2019, 20(3):e175–e186
- Zucchetti B, Shimada AK, Katz A, et al. The role of histone deacetylase inhibitors in metastatic breast cancer[J]. Breast, 2019, 2(43):130–134

(收稿日期:2019–04–18)

(修回日期:2019–04–26)